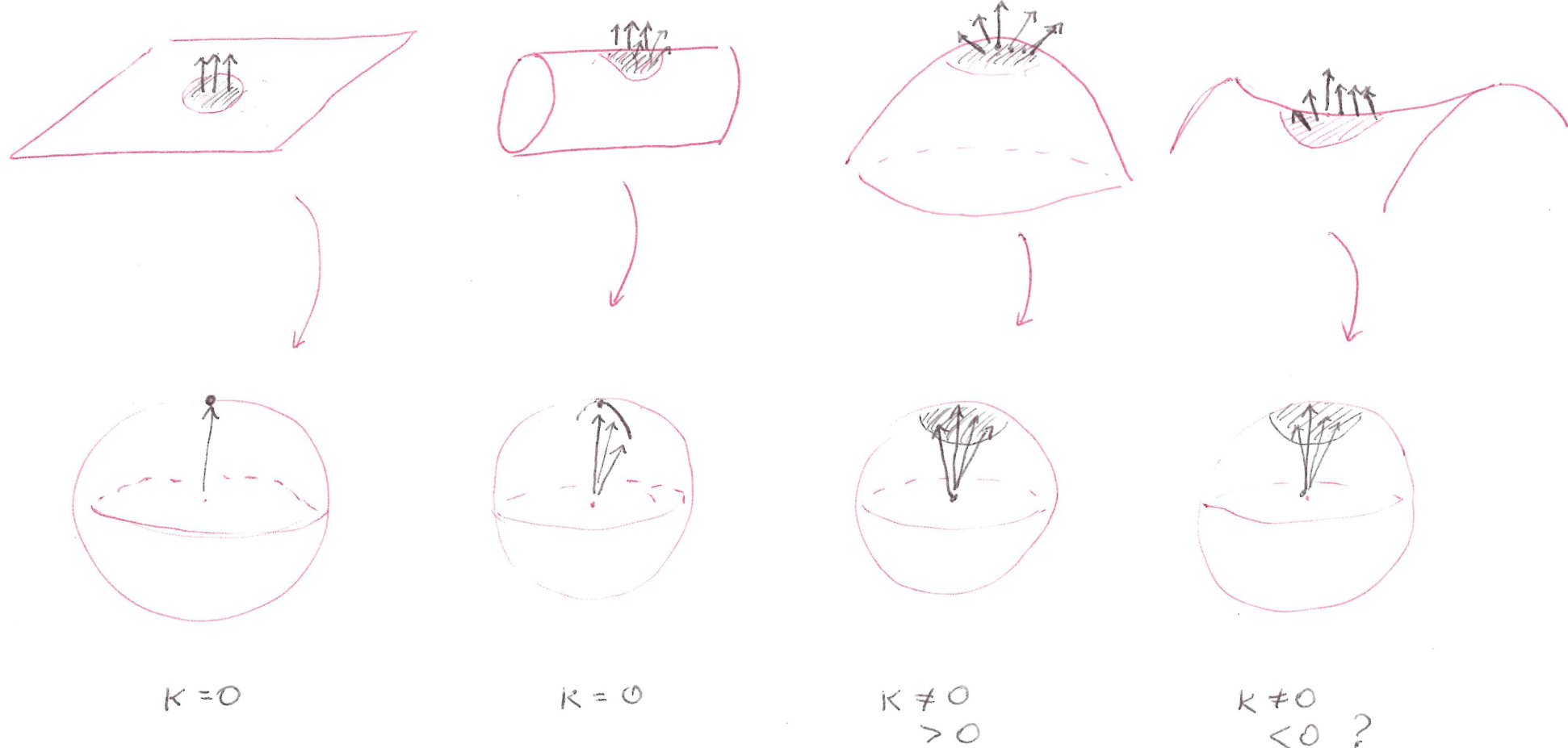


Teoria delle curvature per superficie  $\subseteq \mathbb{R}^3$  (Gauss: come vede le montagne?)



## Riassunto sulle superficie differentiabili:

Nelle lezioni precedenti abbiamo visto:

- Definizioni di superficie regolare e sue rappresentazioni locali fornite parametrizzazioni (e carte), e localmente tutte grafico di funzioni o reti di funzioni con opportune condizioni di regolarità (massime) delle Jacobiane. Definizioni e rappresentazioni del piano tangente ad un punto. Se  $S \subseteq \mathbb{R}^3$  è parametrizzata da  $\sigma: U \rightarrow \mathbb{R}^3$  allora  $T_p S = \langle \sigma_u, \sigma_v \rangle$ .
- Definizioni di funzioni differentiabili su superficie regolare (funzioni multivariate che compongono le carte di coordinate cartesiane  $\mathbb{R}^2$ ) e loro DIFFERENTIAZIABILI, da cui si pone la PES associata alle funzioni lineari tra gli spazi tangenziali  $T_p S$  e  $T_{f(p)} S'$ :  $df_p(v) = v(f)(P)$  per es.  $df(\sigma_u) = f_u$ .
- LA PRIMA FORMA FONDAMENTALE delle superficie: ad ogni punto  $P$ , sullo spazio tangente definisce  $I_p: T_p S \times T_p S \rightarrow \mathbb{R}$  le forme bilin. simm. def>0 date dalla restrizione del prodotto scalare di  $\mathbb{R}^3$  a  $T_p S \subseteq \mathbb{R}^3$ , e sue matrice greca  $G_I = \begin{pmatrix} e_1 \cdot e_1 \\ e_1 \cdot e_2 \\ e_2 \cdot e_1 \\ e_2 \cdot e_2 \end{pmatrix} = \begin{pmatrix} g_{11} & g_{12} \\ g_{21} & g_{22} \end{pmatrix}$ . Questa matrice codifica in termini dei PARAMETRI tutte le informazioni metriche su  $S$ : lunghezza, angolo, area. Abbia esso anche definito trasformazioni isometriche, conformi, isosetiche,

Per le superficie immerse in  $\mathbb{R}^3$  le principali nozze esterne esterne (dipendente dell'ambiente) è quella di normale.

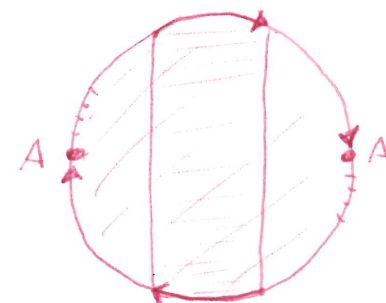
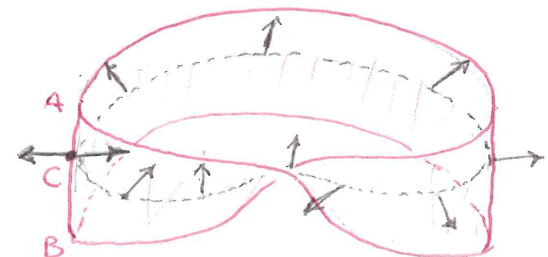
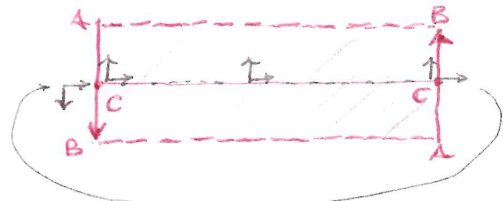
Nel dominio di una curva possiamo usare una parola. E' usare come TENSORE NORMALE  $n = \frac{\partial u \times \partial v}{\|\partial u \times \partial v\|}$  che è  $\in \mathbb{S}^1$ .

Ma GLOBBAMENTE non c'è detto che esiste un campo di vettori normali continuo.

Definizione: una s.p.  $S$  è ORIENTABILE se ammette un CAMPO CONTINUO DI VERSORI NORMALI. Non orientabile altrimenti.

Per esempio, un NASTRO DI RIBBONS non è orientabile, perché contiene cammini chiusi che invertono l'orientamento. Piace proiettivo reale e otta di Klein non sono orientabili perché contengono nodi d'Rockers.

D'ora in poi nelle poste di geometria differenziale supponiamo sempre che le superficie da studiare siano orientabili. Diciamo ATTRAVERSO ORIENTATO un atto che si pone la una premissione alle altre consentendo l'orientamento (cioè con lezioni di determinante positivo).



Sia  $S$  una superficie orientabile (e spaziale o scelta reale orientata).

Diciamo Mappa di GAUSS la funzione  $g: S \rightarrow \mathbb{S}^2$  (sfera unitaria  $\subset \mathbb{R}^3$ ) che ad ogni  $P \in S$  associa  $g(P) := n_P$  normale e  $\mathbb{S}^1$  dipende da  $\frac{\mathbf{f}_u \times \mathbf{f}_v}{\|\mathbf{f}_u \times \mathbf{f}_v\|}$  per tutte carte intorno a  $P$ .  
Si tratta di un CAMPIONAMENTO CONTINUO DI VETTORI NORMALI A S.

Idee: Capire come curva la superficie stendendo come via le normali:  
questo dà le misure delle curvatura di una superficie vicino a un punto.

Due definizioni vicine può essere queste:

$$K(P) := \lim_{\epsilon \rightarrow 0} \frac{\text{Area}(g(D(P, \epsilon) \cap S))}{\text{Area}(D(P, \epsilon) \cap S)} = \lim_{U \rightarrow P} \frac{\text{Area}(g(U))}{\text{Area}(U)}$$

dove  $U$  è un intorno del punto  $P$ , per esempio  $D(P, \epsilon) \cap S$  (un intorno con  $S$  che non dà solo al raggio  $\epsilon$  in  $\mathbb{R}^3$ ).

Si vede subito che queste definizioni dà 0 per il piano (normale costante) e dà  $1/R$  per una sfera di raggio  $R$  (il qualsiasi punto  $P$ ).

D'altra parte ha il difetto di essere sempre  $\geq 0$ .

E' in ogni caso, per studiare le VARIAZIONI di  $g$  (cioè stesse normali a  $S$ ) cominciamo studiando il differenziale  $dg$  che ad ogni punto  $P \in S$  dà una funzione lineare  $dg_P: T_p(S) \rightarrow T_g(\mathbb{S}^2) = n_P^\perp = T_p(S)$  : endomorfismo di  $T_p(S)$ .

DEFINISMO allora la MAPP $\bar{a}$  di WEINGARTEN: per ogni punto  $P \in S$ :

$L_P := -dg_P$  è endomorfismo lineare di  $T_p(S)$ , è sepolto - si capisce poi!, e per ogni  $v \in T_p(S)$  si ha  $L_p(v) = -dg_P(v) = -v(g)_P = -v(n)_P$ .

Sul dominio di una curva, con parametrizzazione  $\gamma$ , abbiamo  $T_p(S) \simeq \langle \dot{\gamma}_u, \dot{\gamma}_v \rangle$  e  $L(\dot{\gamma}_u) = -n_u$  ( $= \frac{\partial}{\partial u} n$ ) e sono ortogonali e si ha  $\|n\|=1$ .  
 $L(\dot{\gamma}_v) = -n_v$  ( $= \frac{\partial}{\partial v} n$ )

In queste basi possiamo scrivere la matrice di  $L$  da cui vediamo che  $L = \begin{pmatrix} a & b \\ c & d \end{pmatrix}$  ed è definita da  $(L(\dot{\gamma}_u) \ L(\dot{\gamma}_v)) = (\dot{\gamma}_u, \dot{\gamma}_v) L$ .

Risultato fondamentale è il seguente TEOREMA:

$L$  è AUTOAGGIUNTA per  $I$ , ovvero per ogni  $P$ :  $I_P(L_P v, w) = I_P(v, L_P w)$  per ogni  $v, w \in T_p(S)$ .

Vediamo una verifica casuale di questo (ne avremo una con i conti poi):

$$\text{da } v \cdot n = 0 \text{ ottieniamo } w(v \cdot n) = 0 \text{ dunque } w(v) \cdot n + v \cdot w(n) = 0$$

$$\text{e da } w \cdot n = 0 \text{ ottieniamo } v(w \cdot n) = 0 \text{ dunque } v(w) \cdot n + w \cdot v(n) = 0$$

e facendo le differenze, ricordando  $[v, w] = v(w) - w(v)$  abbiamo

$$[v, w] \cdot n + v \cdot w(n) - w \cdot v(n) = 0 \quad \text{ma } [v, w] \perp n, \text{ e } v \cdot w(n) = I(v, -L(w))$$

$$w \cdot v(n) = I(w, -L(v))$$

$$\text{da cui } I(v, L(w)) - I(w, L(v)) = 0$$

$$\stackrel{\text{"}}{=} I(L(v), w) \text{ come si voleva.}$$

Ora seppiamo che  $L$  è autoappunto per  $I$  (forni quadratiche def  $> 0$ ), quindi abbiamo due strumenti disponibili di operare l'irete da usare:

- (1) le corrispondenze "frazioni autoappunto"  $\leftrightarrow$  "forni bilin. simmetriche"
- (2) il teorema spettrale che dice " $L$  è  $I$ -ortogonalmente disponibile".

Vediamo iniziamo il primo, e ricordiamo la situazione spettrale:

Sia  $(V, g)$  spazio normato (cioè  $g$  forne bil. simm. non degenere)

e  $\varPhi : V \rightarrow V$  ~~omomorfismo~~ autoappunto per  $g$  (cioè  $g(\varPhi v, w) = g(v, \varPhi w)$   $\forall v, w$ )

allora la forma  $g_\varPhi(v, w) := g(\varPhi v, w)$  è bilineare simmetrica e questo dà una birezione tra

"endomorfismi autoappunti per  $g$ " e "forni bilinari simmetriche"

le cui nivese si costruisce così: date una forma bilin. simm.  $h$  su  $V$ , definiamo  $\varPhi_h$  tramite  $g(\varPhi_h v, w) := h(v, w)$ , e si verifica essere autoappunto per  $g$ .

Scelte una base di  $V$  e dette  $G, A, H$  le matrici di  $g, \varPhi, g_\varPhi$  ottieniamo le relazioni  ~~$H = A^t G$~~   $H = A^t G$  ovvero  $H = GA$  (trasponendo).

Ricordando che  $G$  è invertibile rispetto a  $A = G^{-1}H$ , ma notate che  $A$  di solito non è matrice simmetrica (anche se prodotto di simmetriche!).

Applichiamo allora al nostro caso:  $I$  è def>0, quindi non degenere,  $L$  autoappiante per  $I$ ,

DEFINISMO la SECONDA FORMA FUNDAMENTALE di  $S$ :  $\mathbb{II}_p(v, w) := I_p(L_p v, w)$

per ogni  $P \in S$ ,  $v, w \in T_p(S)$ , e naturalmente  $= I_p(v, L_p w)$  per simmetria (outage di  $L_p$ ).

Nella solita base  $\delta_u, \delta_v$  di  $T_p(S)$  la metrice di Gauss di  $\mathbb{II}$  sarà indicata con

$$G_{\mathbb{II}} = \begin{pmatrix} l & m \\ m & n \end{pmatrix} = \begin{pmatrix} h_{11} & h_{12} \\ h_{21} & h_{22} \end{pmatrix} \quad \text{ed è} \quad G_{\mathbb{II}} = L^t G_I = G_I L, \quad \text{da cui} \quad L = G_I^{-1} G_{\mathbb{II}}.$$

Vediamo come calcolare la metrice  $G_{\mathbb{II}}$ :

$$l = \mathbb{II}(\delta_u, \delta_u) = I(-L(\delta_u), \delta_u) = -\delta_u(n) \cdot \delta_u = -n_u \cdot \delta_u = n \cdot \delta_{uu}$$

(l'ultima uguaglianza perché  $n \cdot \delta_u = 0$  e derivando con  $\delta_u$ :

$$0 = (n \cdot \delta_u)_u = n_u \cdot \delta_u + n \cdot \delta_{uu}.$$

Analogamente si calcolano  $\mathbb{II}(\delta_u, \delta_v) = \mathbb{II}(\delta_v, \delta_u)$  e  $\mathbb{II}(\delta_v, \delta_v)$

e si trova

$$G_{\mathbb{II}} = \begin{pmatrix} n \cdot \delta_{uu} & n \cdot \delta_{uv} \\ n \cdot \delta_{vu} & n \cdot \delta_{vv} \end{pmatrix}$$

note: per avere questo si usa  $L = -dG$ , altrimenti si trova questa metrice con -.

In particolare si tratta di una matrice simmetrica, quindi  $\mathbb{II}$  è simmetrica, e questa è uguale stretta da  $L$  era autoappiante per  $I$ .

Infine, è da notare che la matrice  $G_{\mathbb{II}}$  è più facile da calcolare di  $L$ , e poi possiamo trovare  $L = G_I^{-1} G_{\mathbb{II}}$ .

Per finire queste lezioni, vediamo i primi due spieghi geometrici delle Sff:

(1) Si supponendo  $\sigma$  di Taylor in  $P$  abbiamo:

$$\sigma(u+du, v+dv) = \underbrace{\sigma(u, v)}_{\text{punto } P} + \underbrace{\sigma_u du + \sigma_v dv}_{\text{piano } T_P(S)} + \frac{1}{2} (\sigma_{uu} du^2 + 2\sigma_{uv} du dv + \sigma_{vv} dv^2) + \dots$$

notare  $\sigma_u = \sigma_u(u, v) = \frac{\partial}{\partial u} \sigma(u, v)$ , ecc.

e facendo il prodotto scalare con  $n$ :

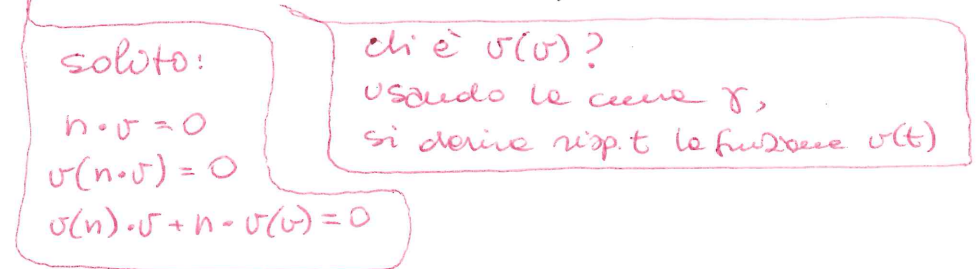
$$\begin{aligned} (\sigma(u+du, v+dv) - \sigma(u, v)) \cdot n &= \frac{1}{2} (n \cdot \sigma_{uu} du^2 + 2n \cdot \sigma_{uv} du dv + n \cdot \sigma_{vv} dv^2) + \dots \\ &= \frac{1}{2} (du \ dv) \left( \begin{matrix} \sigma_{uu} & \sigma_{uv} \\ \sigma_{vu} & \sigma_{vv} \end{matrix} \right) \left( \begin{matrix} du \\ dv \end{matrix} \right) + \dots \\ &= \frac{1}{2} II \left( \text{calcolata nei } \left( \begin{matrix} du \\ dv \end{matrix} \right) \right) + \dots \end{aligned}$$

Quindi: le Sff descrive come  $S$  si allontana dal piano tg.  $T_P(S)$  attorno al punto  $P$  nelle forme di quadrice parabolica.  
 (se le seconde forme fond. è evidentemente nulla, allora bisognerebbe studiare i termini successivi di Taylor, altrimenti l'approssimazione sarà o un cilindro parabolico, o un paraboloid ellittico o iperbolico)

(2) Sia  $P \in S$ ,  $\gamma$  curva  $\subseteq S$  con  $\gamma(0) = P$  e versore tangente  $v = \gamma'(0) \in T_p(S)$ , allora:

$$\mathbb{II}_p(v, v) = I_p(\mathcal{L}_p(v), v) = -v(n) \cdot v = n \cdot v(v) = n \cdot v' = n \cdot \gamma''$$

$$= k_\gamma \frac{n \cdot \gamma''}{\|\gamma''\|} = k_\gamma \cos \theta(n, n_\gamma)$$

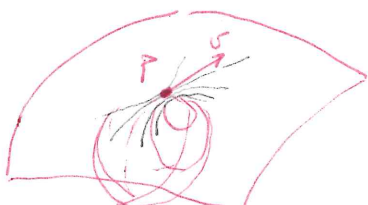


Quindi:  $\mathbb{II}_p(v, v)$  misura la componente normale alla superficie  $S$  della curvatura  $k_\gamma$  delle curve passanti per  $P$  con versore tangente  $v$  (queste si chiameranno curvatura normale di  $\gamma \subseteq S$  nel punto  $P$ ) e quindi è la stessa per tutte quelle curve ( $\exists S, \exists P, \text{tg } v \in P$ ).

ATTENZIONE: non confondere  $n$  = normale alla superficie e  $n_\gamma$  = normale principale delle curve  $\gamma$ .

In particolare usando la tezione piatta  $\gamma = (P + \langle v, n \rangle) n \cap S$  abbiamo  $\mathbb{II}(\gamma', \gamma') = k_\gamma$ .

PROBLEMA: mostrare che i cerchi osculatori delle curve  $\gamma \subseteq S, \exists P$  con versore tangente  $\text{tg } v \in P = v$  formano una sfera (detta di MEUSNIER).



Riassunto: stiamo studiando le superficie orientabili  $\subseteq \mathbb{R}^3$ , e visto:

- (1) prime forme fondan. I (e calcoli metriici sulle superficie)
- (2) mappe di Gauss:  $S \xrightarrow{f} \mathbb{S}^2$  da è un campo di vettori normali a S
- (3) mappe di Weingarten:  $L := -df : T_p(S) \rightarrow T_{f(p)}(\mathbb{S}^2) = n_p^\perp = T_p(P)$   
(per studiare come cambiano le normale a S)
- (4) L è autoadjunta rispetto a I:  $I_p(L_p v, w) = I_p(v, L_p w) \quad \forall p \in S, \forall v, w \in T_p(S)$
- (5) seconde forme fond.  $I\!I_p(v, w) := I_p(R_p v, w) = I_p(v, R_p w)$   
(e i suoi più significativi significati geometrici)

Ricordiamo come le metriche su una base  $\{\tilde{e}_u, \tilde{e}_v\}$  di  $T_p(S)$  date per un  $\tilde{g}(u, v)$ :

$$G_I = \begin{pmatrix} \tilde{g}_{uu} & \tilde{g}_{uv} \\ \tilde{g}_{vu} & \tilde{g}_{vv} \end{pmatrix}, \quad G_{II} = \begin{pmatrix} h \cdot \tilde{g}_{uu} & h \cdot \tilde{g}_{uv} \\ h \cdot \tilde{g}_{vu} & h \cdot \tilde{g}_{vv} \end{pmatrix}, \quad L = \begin{pmatrix} a & b \\ c & d \end{pmatrix} = G_I^{-1} G_{II}$$

$$\begin{pmatrix} e & f \\ f & g \end{pmatrix} \text{ quale } \begin{pmatrix} \tilde{g}_{uu} & \tilde{g}_{uv} \\ \tilde{g}_{vu} & \tilde{g}_{vv} \end{pmatrix} \quad \begin{pmatrix} l & m \\ m & n \end{pmatrix} \text{ quale } \begin{pmatrix} h \cdot \tilde{g}_{uu} & h \cdot \tilde{g}_{uv} \\ h \cdot \tilde{g}_{vu} & h \cdot \tilde{g}_{vv} \end{pmatrix} \quad (\text{da } G_{II} = L^t G_I = G_I L.)$$

Oggi vedremo le conseguenze del teorema spettrale su L e I.

Definizione di CURVATURE per una superficie orientabile  $S \subseteq \mathbb{R}^3$

Siccome  $\mathcal{L}$  è autoaggiunto per  $I$  (da  $\epsilon \text{ def} > 0$ ) appliciamo i.e. teorema gettato:  
 $\mathcal{L}$  è ortogonalmente (per  $I$ ) diagonizabile, cioè  
esistono basi  $v_1, v_2$  di  $T_p(S)$  ortogonali per  $I_p$  ( $G_{II} = \mathbb{1}_2$ ) con  $L = G_{II} = \begin{pmatrix} k_1 & 0 \\ 0 & k_2 \end{pmatrix}$   
e definiamo:

$v_1, v_2 \in T_p(S)$  DIREZIONI DI CURVATURA (ui P)

$k_1, k_2$  CURVATURE PRINCIPALI (ui P)

$K = \det(L) = k_1 \cdot k_2$  CURVATURA DI GAUSS (ui P)

$H = \frac{1}{2} \cdot \text{tr}(L) = \frac{k_1 + k_2}{2}$  CURVATURA MEDIA (ui P)

naturalmente i.e. pd. coroll. d'  $\mathcal{L}$  è  $X^2 - 2HX + K$ , da cui si trae

$$k_{1,2} = H \pm \sqrt{H^2 - K}$$

e  $H^2 - K \geq 0$  ferdé  $K \leq H^2$  (sono medie geometriche e aritmetiche di  $k_1, k_2$ ).

Vediamo il significato di  $k_1$  e  $k_2$ :

Se  $v = v_1 \cos \vartheta + v_2 \sin \vartheta$  è vettore in  $T_p(S)$ , allora:

$$\text{II}(v, v) = (\cos \vartheta, \sin \vartheta) \begin{pmatrix} k_1 & 0 \\ 0 & k_2 \end{pmatrix} \begin{pmatrix} \cos \vartheta \\ \sin \vartheta \end{pmatrix} = k_1 \cos^2 \vartheta + k_2 \sin^2 \vartheta$$

e quindi  $k_1$  e  $k_2$  sono minimo e massimo di CURVATURE NORANTI in  $P$  (di curve nella superficie passanti per  $P$ ).

Vediamo le relazioni di  $K$  (curvatura di Gauss) con l'idea intuitiva  
(vettorezione delle normale ottenuta ad ogni punto):

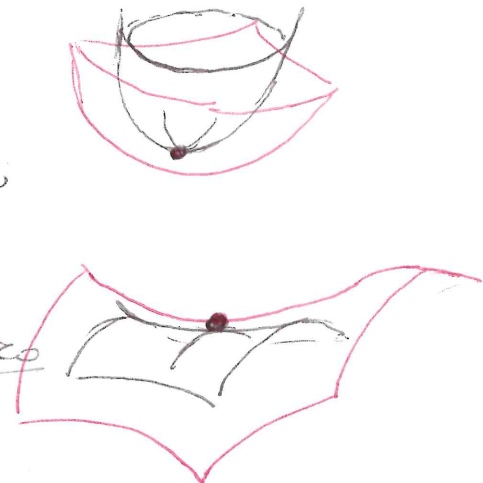
$$\lim_{U \rightarrow P} \frac{\text{Area}(S(U))}{\text{Area}(U)} = \lim_{U \rightarrow P} \frac{\iint_{\partial U} \|n_u \times n_v\| du dv}{\iint_{\partial U} \|n_u \times n_v\| du dv} = \lim_{U \rightarrow P} |\det(L)| = |\det(L_p)| = |K(P)|$$

Nel terzo paragrafo bisognerà sapere qualcosa sugli integrali multipli.

Per la base delle curvature, si definiscono alcuni TIPI DI PUNTI sulla superficie:  
Un punto  $P \in S$  si dice:

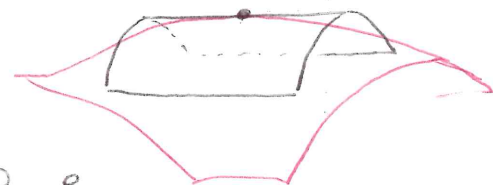
- (1) ELLITICO se  $K(P) > 0$ , cioè  $k_1, k_2$  concordi,  
e allora vicino a  $P$  la sup. è approssimata da PARABOLIZIO;

- (2) IPERBOLICO se  $K(P) < 0$ , cioè  $k_1, k_2$  discordi,  
e allora vicino a  $P$  la sup. è appross. de PARABOLIDE IPERBOLICO



- (3) PARABOLICO se  $K(P) = 0 \neq H(P)$ , cioè  $k_1 \neq 0 = k_2$ ,  
e allora vicino a  $P$  la sup. è approssimata a CILINDRO PARABOLICO

- (4) OMBELICALE se  $k_1 = k_2$  e si dicono:  
PROPRI se le curvature sono  $\neq 0$  (quindi punto ellittico)  
PLANARE se le curvature sono nulle (allora  $H_P = 0$ ,  $L = 0$ ) e  
vicino a  $P$  la sup. è approssimata da termini superiori di Taylor!



Vediamo due risultati classici su questo:

(a) se  $S$  ha solo punti OMBELICI allora è regolare di piano ( $\kappa=0$ ) o di sfera ( $\kappa>0$ )

Inoltre: per ipotesi abbiamo  $n(v) = \lambda v \quad \forall v \in T_p S, \forall p \in S$  (ma l'autovalore  $\lambda$  potrebbe dipendere da  $P$ )

$$\text{In particolare} \begin{cases} n_u = \lambda \delta_u \\ n_v = \lambda \delta_v \end{cases} \quad \text{quindi} \quad \begin{cases} n_{uv} = \lambda_v \delta_u + \lambda_u \delta_{uv} \\ n_{vu} = \lambda_u \delta_v + \lambda_v \delta_{vu} \end{cases}$$

(ottenuto dunque  $n_{uv} = n_{vu}$ ).

$$\text{e sottraendo } 0 = \lambda_v \delta_u - \lambda_u \delta_v, \text{ da cui } \lambda_u = 0 = \lambda_v \quad (\text{perché } \delta_u, \delta_v \text{ sono linearmente indipendenti})$$

e quindi  $\lambda$  è COSTANTE INDEPENDENTEMENTE DAL PUNTO  $P$ . Conclusione:

- se  $\lambda=0$  abbiamo  $n_u = n_v = 0$ , dunque  $n$  COSTANTE, e  $S \subseteq$  piano ortogonale a  $n$ ,

- se  $\lambda \neq 0$  allora  $c := \delta - \frac{1}{\lambda} n$  è costante (dovendo:  $C_{u,v} = \delta_{u,v} - \frac{1}{\lambda} n_{u,v} = 0$ )

e  $\|n-c\| = \|\frac{1}{\lambda} n\| = \frac{1}{\lambda}$  costante, dunque  $S \subseteq$  sfera centrale di raggio  $\frac{1}{\lambda}$ .

(b) se  $S$  è superficie COMPATTA in  $\mathbb{R}^3$  allora esiste  $P \in S$  con  $\kappa(P) > 0$ .

(cioè non esistono superf. compatte in  $S$  con  $\kappa < 0$  ovunque).

Inoltre: siccome  $S$  è compatta, è "contenuta" in una sfera,

e dunque i raggi delle sfere possibili supponendo che esista  $P \in S$  sfera.

Usando le proprietà del massimo vediamo che ogni  $r \leq R$  possente per  $P$

ha nel punto  $P$  curvatura  $> \frac{1}{r}$  (oppure, in particolare le curvature principali sono concordi).

Vediamo alcuni esempi didattici:

(1) Superficie con un punto piano t.c. la superficie stia de un lato del piano tg:

studiemo il punto  $O$  per le seg. di ROTAZIONE di  $z=x^4$  attorno all'asse  $z$ :

$$\sigma = \begin{pmatrix} x \cos\theta \\ x \sin\theta \\ x^4 \end{pmatrix}, \quad \sigma_x = \begin{pmatrix} \cos\theta & 0 & 0 \\ 0 & \sin\theta & 0 \\ 0 & 0 & 1 \end{pmatrix}, \quad \sigma_\theta = \begin{pmatrix} -x \sin\theta & 0 & 0 \\ x \cos\theta & 0 & 0 \\ 0 & 0 & 1 \end{pmatrix}, \quad \text{dunque } G_I = \begin{pmatrix} 1+16x^6 & 0 \\ 0 & x^2 \end{pmatrix}$$

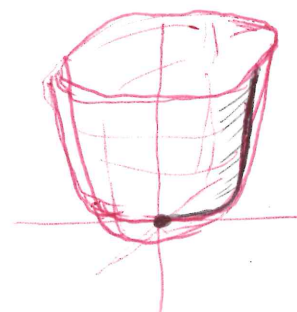
$$n = \frac{\sigma_x \times \sigma_\theta}{\|\sigma_x \times \sigma_\theta\|} = \frac{1}{\sqrt{1+16x^6}} \begin{pmatrix} -4x^3 \cos\theta \\ -4x^3 \sin\theta \\ 1 \end{pmatrix}, \quad \sigma_{xx} = \begin{pmatrix} 0 & 0 & 0 \\ 0 & 12x^2 & 0 \\ 0 & 0 & 1 \end{pmatrix}, \quad \sigma_{x\theta} = \begin{pmatrix} -\sin\theta & 0 & 0 \\ \cos\theta & 0 & 0 \\ 0 & 0 & 1 \end{pmatrix}, \quad \sigma_{\theta\theta} = \begin{pmatrix} -x \cos\theta & 0 & 0 \\ -x \sin\theta & 0 & 0 \\ 0 & 0 & 1 \end{pmatrix},$$

$$\text{dunque } G_{II} = \frac{1}{\sqrt{1+16x^6}} \begin{pmatrix} 12x^2 & 0 \\ 0 & 4x^4 \end{pmatrix} = \frac{4x^2}{\sqrt{1+16x^6}} \begin{pmatrix} 3 & 0 \\ 0 & x^2 \end{pmatrix},$$

$$\text{infine } L = G_I^{-1} G_{II} = \frac{4x^2}{\sqrt{1+16x^6}} \begin{pmatrix} 3 & 0 \\ 0 & 1+16x^6 \end{pmatrix} \quad \text{e } K = \frac{|G_{II}|}{|G_I|} = \frac{48x^4}{(1+16x^6)^2}$$

e si vede che  $K$  è positivo tranne per  $x=0$  in cui è nullo,

e in quel caso si annullano  $L$  e  $G_{II}$ . Che succede per  $G_I$ ?



(2) SELLA DELLA SCIMMIA: punto plenore con sp de entro cui i lati del ptg:

studiamo  $\sigma$  per il grafico di  $z = x^3 - 3xy^2$

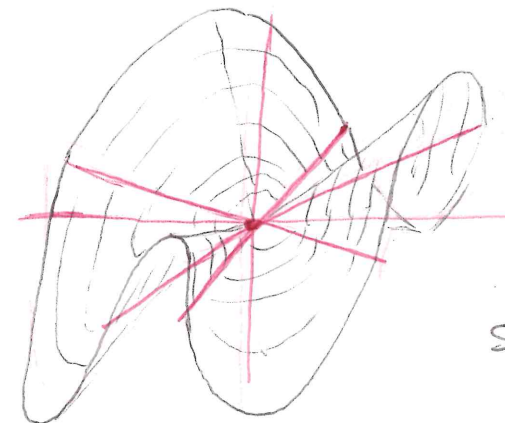
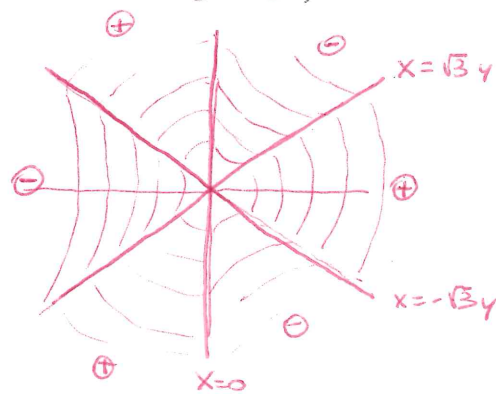
$$\sigma = \begin{pmatrix} x \\ y \\ x^3 - 3xy^2 \end{pmatrix}, \quad \sigma_x = \begin{pmatrix} 1 \\ 0 \\ 3x^2 - 3y^2 \end{pmatrix}, \quad \sigma_y = \begin{pmatrix} 0 \\ 1 \\ -6xy \end{pmatrix}, \quad \text{dunque } G_I = \begin{pmatrix} 1+9(x^2+y^2)^2 & -18xy(x^2+y^2) \\ -18xy(x^2+y^2) & 1+36x^2y^2 \end{pmatrix}$$

$$h = \frac{1}{\sqrt{1+9(x^2+y^2)^2}} \begin{pmatrix} -3x^2+3y^2 \\ 6xy \\ 1 \end{pmatrix}, \quad \sigma_{xx} = \begin{pmatrix} 0 \\ 0 \\ 6x \end{pmatrix}, \quad \sigma_{xy} = \begin{pmatrix} 0 \\ 0 \\ -6y \end{pmatrix}, \quad \sigma_{yy} = \begin{pmatrix} 0 \\ 0 \\ -6x \end{pmatrix},$$

$$\text{dunque } G_{II} = \frac{6}{\sqrt{1+9(x^2+y^2)}} \begin{pmatrix} x & -y \\ -y & -x \end{pmatrix}, \quad L = G_I^{-1} G_{II}, \quad K = \frac{|G_{II}|}{|G_I|} = \frac{-36(x^2+y^2)}{*} \leq 0$$

quindi tutti i punti sono iperbolici tranne per  $x=0=y$  in cui

$$G_I(0,0) = \begin{pmatrix} 1 & 0 \\ 0 & 1 \end{pmatrix}, \quad G_{II}(0,0) = \begin{pmatrix} 0 & 0 \\ 0 & 0 \end{pmatrix}, \quad \text{punto plenore}$$



Spiegazione del nome?

(3) punti parabolici con superficie da centroebi i lembi del piano tangente:

quelli di altezza  $0$  per le sp di rotazione di  $x = z^3 + 1 \ (\geq 0)$  attorno all'asse  $z$

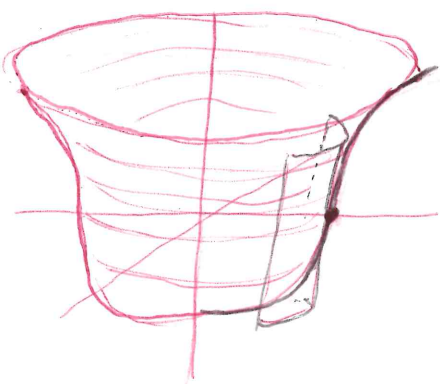
$$\sigma = \begin{pmatrix} (z^3+1) \cos \vartheta \\ (z^3+1) \sin \vartheta \\ t \end{pmatrix}, \quad \sigma_t = \begin{pmatrix} 3z^2 \cos \vartheta \\ 3z^2 \sin \vartheta \\ 1 \end{pmatrix}, \quad \sigma_\theta = \begin{pmatrix} -(z^3+1) \sin \vartheta \\ (z^3+1) \cos \vartheta \\ 0 \end{pmatrix}, \quad \text{dunque } G_I = \begin{pmatrix} 1+9t^4 & 0 \\ 0 & (1+z^3)^2 \end{pmatrix}$$

$$n = \frac{1}{\sqrt{1+9t^4}} \begin{pmatrix} -\cos \vartheta \\ -\sin \vartheta \\ 3z^2 \end{pmatrix}, \quad \sigma_{22} = \begin{pmatrix} 6t \cos \vartheta \\ 6z^2 \sin \vartheta \\ 0 \end{pmatrix}, \quad \sigma_{23} = \begin{pmatrix} -3z^2 \sin \vartheta \\ 3z^2 \cos \vartheta \\ 0 \end{pmatrix}, \quad \sigma_{33} = \begin{pmatrix} -(z^3+1) \cos \vartheta \\ -(z^3+1) \sin \vartheta \\ 0 \end{pmatrix},$$

$$\text{dunque } G_{II} = \frac{1}{\sqrt{1+9t^4}} \begin{pmatrix} -6t & 0 \\ 0 & 1+t^3 \end{pmatrix}, \quad L = G_I^{-1} G_{II}, \quad K = |L| = \frac{|G_{II}|}{|G_I|} = -\frac{6t}{x}$$

e i punti sono ellittici per  $t < 0$ , iperbolici per  $t > 0$ , mentre per  $t = 0$  abbiamo

$$G_I = \begin{pmatrix} 1 & 0 \\ 0 & 1 \end{pmatrix} \quad e \quad G_{II} = \begin{pmatrix} 0 & 0 \\ 0 & 1 \end{pmatrix} \quad \text{punti parabolici:}$$



Arriviamo al risultato fondamentale di Gauss:

le curvature sono definite usando la normale, quindi nozione di superficie dell'ambiente, ma la curvatura di Gauss è intrinseca, cioè si può determinare tramite calcoli (metici locali) sulla superficie:

TEOREMA EGREGIUM:  $K = \det(L)$  dipende solo dalle prime forme fondamentali

quindi un essere in bidimesione che vive sulla superficie può trarre misure sulla superficie capire se vive in un mondo di curvatura non nulla!

Motivazione di Gauss, per le curve un risultato del genere non è possibile, ma noi possiamo accorgerci se il nostro universo non è "piatto"?

Conseguenze immediate del T.E. di Gauss:

Se due superficie sono loc. ISOMETRICHE allora hanno le stesse curvature

Attenzione: il viceversa è falso, vedremo per esempio che

la s.p. di "rotazione del logoritmo" e l'"elicoide della rotta" hanno stesse curvature ma non sono loc. isometriche.

Note: invece vediamo che curvatura media e curvatura principali:

non sono intrinseche alle superficie ma dipendono dall'ambiente  
(negli esempi)

Vi sono varie alternative possibili del T.E.,

vediamo una con coefficienti esplicativi che non portano anche e fortunatamente esplicati per le cui forme di I.

$$K = \frac{\det(\tilde{I})}{\det(I)} = \frac{1}{\det(I)^2} \cdot \det \begin{pmatrix} \delta_{uu} \cdot \delta_u \times \delta_v & \delta_{uv} \cdot \delta_u \times \delta_v \\ \delta_{vv} \cdot \delta_u \times \delta_v \end{pmatrix}$$

perché  $\tilde{I} = \begin{pmatrix} \delta_{uu} & \delta_{uv} \\ \delta_{vv} & \delta_{uv} \end{pmatrix} \cdot \frac{\delta_u \times \delta_v}{\|\delta_u \times \delta_v\|}$

quindi:

$$\det(I)^2 K = \det \begin{pmatrix} \det(\delta_{uu} \delta_u \delta_v) & \det(\delta_{uv} \delta_u \delta_v) \\ \det(\delta_{vv} \delta_u \delta_v) \end{pmatrix} =$$

e  $\|\delta_u \times \delta_v\|^2 = \det(I)$  (incognite)

$$= \det(\delta_{uu} \delta_u \delta_v) \det(\delta_{vv} \delta_u \delta_v) - \det(\delta_{uv} \delta_u \delta_v)^2 =$$

$$= \det \left( \begin{pmatrix} \delta_{uu}^t \\ \delta_{uv}^t \\ \delta_{vv}^t \end{pmatrix} (\delta_{uv} \delta_u \delta_v) \right) - \det \left( \begin{pmatrix} \delta_{uv}^t \\ \delta_{ut} \\ \delta_{vt}^t \end{pmatrix} (\delta_{uv} \delta_u \delta_v) \right) =$$

$$= \det \begin{pmatrix} \delta_{uu} \cdot \delta_{uv} & \delta_{uu} \cdot \delta_u & \delta_{uu} \cdot \delta_v \\ \delta_u \cdot \delta_{vv} & \boxed{I} & \\ \delta_v \cdot \delta_{vv} & & \end{pmatrix} - \det \begin{pmatrix} \delta_{uv} \cdot \delta_{uv} & \delta_{uv} \cdot \delta_u & \delta_{uv} \cdot \delta_v \\ \delta_u \cdot \delta_{uv} & \boxed{I} & \\ \delta_v \cdot \delta_{uv} & & \end{pmatrix} =$$

$$= \det \begin{pmatrix} \delta_{uu} \cdot \delta_{vv} - \delta_{uv} \cdot \delta_{uv} & \delta_{uu} \cdot \delta_u & \delta_{uu} \cdot \delta_v \\ \boxed{\delta_u \cdot \delta_{uv}} & \boxed{I} & \\ \boxed{\delta_v \cdot \delta_{uv}} & & \end{pmatrix} - \det \begin{pmatrix} 0 & \delta_{uv} \cdot \delta_u & (\delta_{uv} \cdot \delta_v) \\ \delta_u \cdot \delta_{uv} & \boxed{I} & \\ \delta_v \cdot \delta_{uv} & & \end{pmatrix}$$

e per mostrare il T.E. basta vedere che i termini mostrati in rosso dipendono dalle pff (gli altri termini sono già coefficienti di I).

Ricordiamo le pff: I

$$\begin{cases} e = \delta_u \cdot \delta_u \\ f = \delta_u \cdot \delta_v \\ g = \delta_v \cdot \delta_v \end{cases}$$

Doriniamo:

$$I_u \begin{cases} e_u = 2\delta_u \cdot \delta_{uu} \\ f_u = \delta_{uu} \cdot \delta_v + \delta_u \cdot \delta_{uv} \\ g_u = 2\delta_{uv} \cdot \delta_v \end{cases}$$

$$I_{uv} \begin{cases} e_v = 2\delta_{uv} \cdot \delta_u \\ f_v = \delta_{uv} \cdot \delta_v + \delta_u \cdot \delta_{vv} \\ g_v = 2\delta_v \cdot \delta_{vv} \end{cases}$$

quindi basta trovare  $\delta_{uu} \cdot \delta_{vv} - \delta_{uv} \cdot \delta_{uv}$ ,

e per questo doriniamo ancora le pff:

$$I_{uu} \begin{cases} e_{uu} = \\ f_{uu} = \\ g_{uu} = 2\delta_{uu} \cdot \delta_v + 2\delta_{uv} \cdot \delta_{uv} \end{cases}$$

$$I_{uv} \begin{cases} e_{uv} = \\ f_{uv} = \delta_{uu} \cdot \delta_v + \delta_{uv} \cdot \delta_{vv} \\ \quad + \delta_{uv} \cdot \delta_{uv} + \delta_u \cdot \delta_{vv} \\ g_{u,v} = \end{cases}$$

$$I_{vv} \begin{cases} e_{vv} = 2\delta_{uv} \cdot \delta_u + 2\delta_{uv} \cdot \delta_{uv} \\ f_{vv} = \\ g_{vv} = \end{cases}$$

da cui si deduce  $f_{uv} - \frac{1}{2}g_{uu} - \frac{1}{2}e_{vv} = \delta_{uu} \cdot \delta_{vv} - \delta_{uv} \cdot \delta_{uv}$ , che si voleva!

Da queste espressioni, con qualche conto!, si possono ottenere  
formule esplicite classiche per  $K$  a partire da I (valore le dispense!).